

# Prøveeksamen i Algoritmer og Datastrukturer (NDAA04010U) (version med svar og forklaringer)

Københavns Universitet

2023-03-27

## Instruktioner

Du skal besvare 13 opgaver, beskrevet nedenfor. Karakteren baseres på det samlede antal point (vægten af hver opgave er angivet) og på en helhedsbedømmelse. **Sættet svarer i omfang til ca. 2/3 af en 4-timers eksamen, dvs. forventes at kunne besvares på 160 minutter. Der er blot afsat 60 minutter til prøveeksamen i ITX lokalet, så du bør forberede dine svar inden. Dine besvarelser bliver *ikke* gjort synlige for underviserne og altså heller ikke rettet. Vejledende besvarelse findes på Absalon.** Opgavesættet har 10 nummererede sider. CLRS refererer til kursets lærebog, Introduction to Algorithms, 3rd edition.

Skriftlige hjælpemidler samt brug af lokalt installeret software er tilladt. Det er *ikke* tilladt at tilgå internet eller at kommunikere med andre.

Multiple-choice opgaver besvares i ITX systemets multiple-choice modul. I hvert multiple-choice spørgsmål er det angivet hvorvidt der er præcis én korrekt svarmulighed eller der skal angives en *mængde* af ét eller flere korrekte svar. Ved retning af multiple-choice opgaver gives der negative point for forkerte svar. Eksempler:

- Opgave X har 8 svarmuligheder, hvoraf 4 er korrekte. Hvert kryds ved en korrekt svarmulighed giver 1 point, og hvert kryds ved en forkert svarmulighed giver -1 point. Hvis du fx sætter kryds ved alle de korrekte svarmuligheder og én forkert svarmulighed får du 3 point. Hvis du ikke sætter nogen krydser får du 0 point, og sætter du krydser ved alle svarmuligheder får du også 0 point.
- Opgave Y har 5 svarmuligheder, hvoraf 1 er korrekt. Kryds ved den korrekte svarmulighed giver 4 point, og kryds ved en forkert svarmulighed giver -1 point.

Svar på skriftlige opgaver afleveres som et Word dokument i ITX systemet. Der er mulighed for at tegne og skrive på tablet, og indsætte i dokumentet. Efter forsiden skal der laves *én side til hvert delspørgsmål, i samme rækkefølge som i opgavesættet*. Angiv spørgsmålets nummer og bogstav (fx 10.a) men kopiér ikke opgaveteksten ind i besvarelsen. Totalt skal Word dokumentet have 8 sider. (Hvis du ikke svarer på et spørgsmål, så lav en tom side.)

## Multiple-choice

Dine svar skal indtastes i ITX-systemets multiple-choice modul.

### 1 MergeSort og sammenligninger (4%)

Betragt følgende input til MERGESORT, implementeret som i CLRS sektion 2.3.

42	33	36	43	11	38	22	66
----	----	----	----	----	----	----	----

Hvor mange gange sammenligner MERGESORT elementet 42 med et andet element i input? (Sammenligninger med  $\infty$  skal ikke tælles med.) Vælg præcis ét svar.

1. 3 sammenligninger
2. 4 sammenligninger
3. 5 sammenligninger ✓
4. 6 sammenligninger
5. 7 sammenligninger

**Svar:** Vi kan fokusere på de sorterede lister hvor 42 indgår. Der laves 1 sammenligning for at lave den sorterede liste med 2 elementer, 2 sammenligninger for at lave den sorterede liste med 4 elementer, og yderligere 2 sammenligninger for at lave den endelige sorterede liste. Totalt 5 sammenligninger.

### 2 MergeSort (4%)

Antag at  $\text{MERGESORT}(A, p, r)$ , implementeret som i CLRS sektion 2.3, bliver kaldt på 21 elementer (dvs.  $r - p + 1 = 21$ ). Hvor mange kald bliver der totalt lavet til MERGE-SORT? Vælg præcis ét svar.

1. 11
2. 21
3. 31
4. 41 ✓
5. 51

**Svar:** Antal elementer i hvert kald af mergesort, opdelt efter rekursionsniveau, er: 21; 10, 11; 5, 5, 5, 6; 2, 3, 2, 3, 2, 3, 3, 3; 1, 1, 1, 2, 1, 1, 1, 2, 1, 1, 1, 2, 1, 2, 1, 2; 1, 1, 1, 1, 1, 1, 1, 1, 1, 1, 1. Antal kald er altså  $1 + 2 + 4 + 8 + 16 + 10 = 41$ . Alternativt kan man se at antal indre knuder i et binært træ med 21 blade altid er  $2 \cdot 21 - 1 = 41$ .

### 3 Korteste-veje træ (4%)

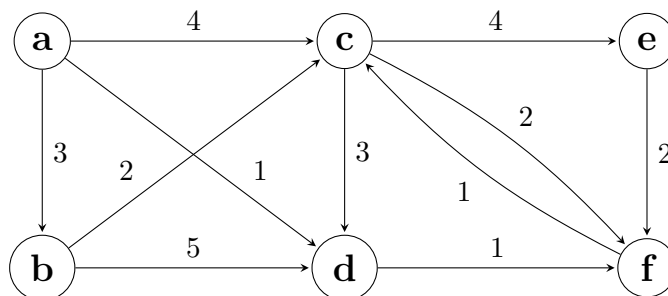
Betragt et korteste veje problem (eng. *single-source shortest-paths problem*) på en graf  $G = (V, E)$  med vægtfunktion  $w : E \rightarrow \mathbb{R}$  og startknode  $s$ . Hvilke af følgende egenskaber har et korteste-veje træ (eng. *shortest-paths tree*)  $G' = (V', E')$  altid? Vælg ét eller flere korrekte svar.

1. I  $G'$  kan alle knuder i  $V$  nås fra  $s$ .
2. Knuden  $s$  har kun udgående kanter i  $G'$ . ✓
3.  $G'$  har  $|V'| - 1$  kanter. ✓
4. Hvis alle vægte er unikke indeholder  $G'$  af de  $|E'|$  kanter i  $G$ , der har lavest vægt.
5.  $G'$  indeholder den kant i  $G$ , der har lavest vægt.

**Svar:**  $G'$  forbinder kun  $s$  med de knuder knuder i  $V$  hvortil der findes en vej i  $G$ . Der er kun udgående kanter fra  $s$  fordi træet ikke har nogen cykler.  $G'$  er et træ, og derfor er antal kanter lig med antal knuder minus 1. En lav vægt er ikke en garanti for at være med i en korteste vej fra  $s$  — for eksempel kan visse kanter ikke nås fra  $s$ .

### 4 Korteste veje (4%)

Betragt korteste veje problemet (eng. *single-source shortest-paths problem*) med startknode **a** på følgende graf:



Hvilke kanter er med i korteste-vej træet? Vælg ét eller flere korrekte svar.

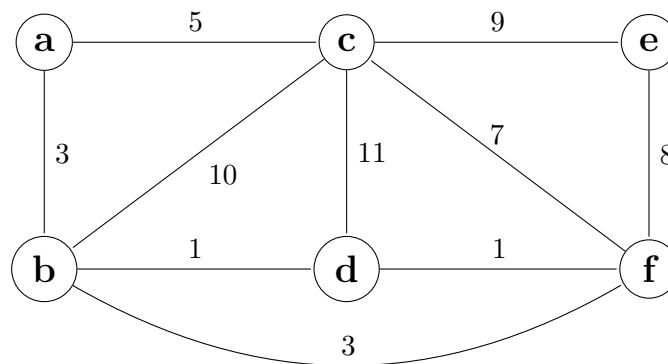
1. (a,b) ✓
2. (a,c)
3. (a,d) ✓
4. (b,c)
5. (b,d)

6. (c,d)
7. (c,e) ✓
8. (c,f)
9. (d,f) ✓
10. (e,f)
11. (f,c) ✓

**Svar:** Da der kun er positive vægte kan kanterne i træet findes ved at køre Dijkstra's algoritme, der giver det angivne output (som i dette tilfælde er unikt).

## 5 Mindste udspændende træ (4%)

Betragt mindste udspændende træ (eng. *minimum spanning tree*) problemet på denne graf:



Hvilke kanter er med i mindste udspændende træ? Vælg ét eller flere korrekte svar.

1. {a,b} ✓
2. {a,c} ✓
3. {b,c}
4. {b,d} ✓
5. {b,f}
6. {c,d}
7. {c,e}
8. {c,f}

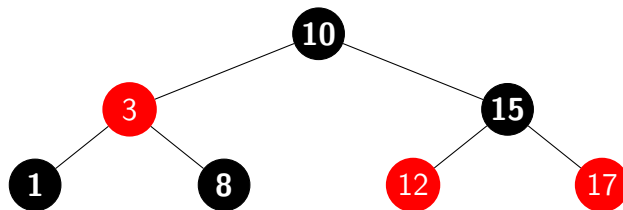
9. {d,f} ✓

10. {e,f} ✓

**Svar:** Mindste udspændende træ kan findes ved at køre fx Kruskál's eller Prim's algoritme og giver det angivne input (som i dette tilfælde er unikt).

## 6 Rød-sorter søgetræer (4%)

Betragt dette rød-sorter binære søgetræ (eng. *red-black binary search tree*), hvor bladene er udeladt på tegningen:



Antag at vi bruger indsættelsesalgoritmen RB-INSERT fra CLRS kapitel 13 til at indsætte nøglen 9. Hvad sker med træet? Vælg præcis ét svar.

1. 9 indsættes som højre barn til knude 8 og farves rød. ✓
2. 9 indsættes som højre barn til knude 8 og farves sort.
3. 9 indsættes som venstre barn til knude 12 og farves rød.
4. 9 indsættes som venstre barn til knude 12 og farves sort.
5. Ingen af ovenstående.

**Svar:** RB-INSERT finder det rette sted i træet til nøglen 9, som det højre barn under knude 8. Knuden farves rød og derefter kaldes RB-INSERT-FIXUP, men den terminerer uden at ændre noget fordi forældreknoten 8 er sort.

## 7 Køretid for rød-sorter søgetræer (4%)

Betragt et rød-sort binært søgetræ  $T$  (eng. *red-black binary search tree*), som beskrevet i CLRS kapitel 13, hvorpå der udføres  $n_1$  INSERT operationer,  $n_2$  DELETE operationer, og  $n_3$  SEARCH operationer (sidstnævnte kaldes også “access” operationer). Det totale antal operationer er  $N = n_1 + n_2 + n_3$ . Hvilke af følgende udsagn er altid sande? Vælg ét eller flere korrekte svar.

1. Den samlede tid for operationerne er  $\Omega(N)$ . ✓

2. Den samlede tid for operationerne er  $O(N \lg N)$ . ✓
3. Den samlede tid for operationerne er  $O(n_3 + (n_1 + n_2) \lg N)$ .
4. Dybden af  $T$  er højst  $2 \lg(n_1 + 1)$ . ✓
5. Alle blade i  $T$  er i dybde mindst  $\lfloor \lg(n_3 + 1) \rfloor$ .
6. Alle sorte knuder i  $T$  har en afstand til roden, der er et lige tal.

**Svar:** Hver operation tager mindst konstant tid, så den samlede tid er  $\Omega(n)$ . Antal knuder  $n$  i træet er på ethvert tidspunkt højst  $n_1 \leq N$ . Hver operation tager altså højst  $O(\lg N)$  tid, så den samlede tid er  $O(n \lg N)$ . I værste fald tager søgeoperationerne tid  $\Omega(\lg n_1)$ , dvs. tid  $\Omega(n_3 \lg n_1)$  totalt, og tiden kan altså ikke begrænses af  $O(n_3 + (n_1 + n_2) \lg N)$ . Et rød-sort binært søgetræ kan have blade i dybde 2, bladenes dybde er ikke større end  $\lfloor \lg(n_3 + 1) \rfloor$  generelt. Sorte knuder kan optræde på alle niveauer.

## 8 Amortiseret analyse (4%)

I denne opgave betragter vi potentialfunktionen der bruges til at analysere dynamiske tabeller i CLRS sektion 17.4.1. Lad  $\Phi_i$  betegne potentialfunktionens værdi efter  $i$  TABLE-INSERT operationer, uden nogen TABLE-DELETE operationer. Hvilke egenskaber har  $\Phi_i$ ? Vælg ét eller flere korrekte svar.

1.  $\Phi_i = \Omega(1)$ . ✓
2.  $\Phi_i = O(1)$ .
3.  $\Phi_i = \Omega(i)$ .
4.  $\Phi_i = O(i)$ . ✓
5.  $\Phi_i \geq \Phi_{i-1}$ .
6.  $\Phi_i \geq 0$ . ✓

**Svar:**  $\Phi_i = 2 \cdot \text{num}_i - \text{size}_i$ , hvor  $\text{num}_i = i$  og  $\text{size}_i \geq 1$  er den aktuelle kapacitet. Vi har altid  $\Phi_i \leq i/2$ , så  $\Phi_i = O(i)$ , men lige efter en tabeludvidelse har vi  $\Phi_i \leq 2$ , dvs. det gælder ikke at  $\Phi_i = \Omega(i)$ . Lige efter en tabeludvidelse har vi  $\Phi_i < \Phi_{i-1}$ . Potentialfunktionen er defineret så den er ikke-negativ, og den er positiv fra første skridt og fremefter.

## 9 Del og hersk (4%)

Hvilke af disse rekursionsligninger har løsningen  $T(n) = \Theta(n^2)$ ? Antag at  $T(n) = 1$  for  $n \leq 1$ . Vælg ét eller flere korrekte svar.

1.  $T(n) = 4T(\lfloor n/2 \rfloor) + n \lg n$ . ✓

2.  $T(n) = 4T(\lfloor n/2 \rfloor) + n^2$ .

3.  $T(n) = 2T(\lfloor n/4 \rfloor) + n^2$ . ✓

4.  $T(n) = 9T(\lfloor n/3 \rfloor) + n^3$ .

5.  $T(n) = T(n-1) + n^2$ .

6.  $T(n) = T(n-1) + n$ . ✓

**Svar:** De fire første rekursionsligninger kan løses ved hjælp af master theorem, hvor nummer 1 og 3 falder i henholdsvis tilfælde 1 og 3 som giver  $T(n) = \Theta(n^2)$ . De sidste ligninger kan løses med substitutionsmetoden. I ligning 5 er der  $n$  led hvor halvdelen har størrelse mindst  $(n/2)^2 = n^4/4$ , så  $T(n) = \Omega(n^3)$ . I ligning 6 er der  $n$  led af størrelse højst  $n$ , hvor halvdelen har størrelse mindst  $n/2$ , så  $T(n) = \Theta(n^2)$ .

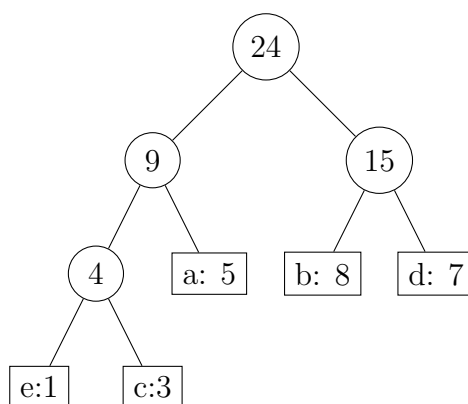
## Skriftlige opgaver

### 10 Huffman tree (4%)

Vi betragter algoritmen til konstruktion af Huffman koder i CLRS sektion 16.3.

**a)** Tegn Huffman træet som algoritmen beregner for alfabetet  $C = \{a, b, c, d, e\}$  med frekvenser  $f_a = 5$ ,  $f_b = 8$ ,  $f_c = 3$ ,  $f_d = 7$ ,  $f_e = 1$ . Det er ikke nødvendigt at angive labels (0 og 1) på kanterne, men angiv frekvenser i blade såvel som indre knuder (se eksempel i CLRS figur 16.4). Skriv dit svar på side 2 i Word dokumentet.

**Svar:** Algoritmen beregner dette træ (tegnet uden 0-1 labels på kanterne):



### 11 Dynamisk programmering (10%)

Vi betragter følgende variant af *rod cutting* problemet fra CLRS sektion 15.3. Input er et heltal  $n$  og en vektor  $p$  hvor  $p_i$  er fortjenesten på en stav af længde  $n$ . I lighed med rod cutting skal en stav (eng. *rod*) af længde  $n$  deles op i kortere stave, alle af heltalslængde, således at den totale fortjeneste maksimeres. I modsætning til det originale rod cutting problem er der dog en omkostning på 1 for hvert snit, som skal modregnes i fortjenesten.

**Eksempel.** Antag at vi har en stav af længde  $n = 5$ , hvor  $p = (p_1, p_2, p_3, p_4, p_5) = (1, 3, 5, 6, 6)$ . Hvis vi deler staven i to dele af størrelse henholdsvis 2 og 3, så bliver fortjenesten  $p_2 + p_3 - 1 = 7$ , hvor vi trækker 1 fra fordi der er ét snit. Hvis vi i stedet delte i 5 dele af størrelse 1 ville fortjenesten blive  $5p_1 - 4 = 1$ .

**a)** Skriv en rekursionsligning for fortjenesten (eng. *revenue*)  $r_n$  for en stav af længde  $n$ . Skriv dit svar på side 3 i Word dokumentet.

**Svar:** Vi har  $r_0 = 0$  og med samme argument for standard rod cutting er  $r_n = \max_{0 \leq i \leq n} (p_i - r_{n-i} - 1)$ , hvor vi trækker 1 fra pga. omkostningen ved snittet.

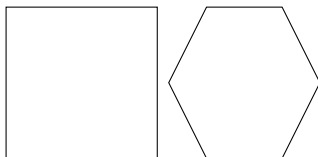


b) Lav en analyse af køretiden af algoritme, der bruger rekursionsligningen og dynamisk programmering til at beregne fortjenesten ved en stav af længde  $n$ . Analysen skal give en øvre grænse på køretiden som funktion af  $n$  i store- $O$  notation, der er så præcis som mulig. Skriv dit svar på side 4 i Word dokumentet.

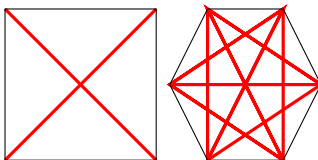
**Svar:** Analysen for rod cutting kan genbruges, da rekursionsligningen har samme struktur. Ændringen påvirker kun værdierne og tiden for hvert skridt øges med højst en konstant faktor. Derfor er køretiden  $O(n^2)$ .

## 12 Induktionsbeviser (6%)

I denne opgave betragter vi  $n$ -kanter som disse eksempler ( $n = 4$  og  $n = 6$ ):



Vi er interesserede i antal *diagonaler*, dvs. linjer der forbinder to hjørner i  $n$ -kanterne og er helt indeholdt i figuren. En 3-kant har ingen diagonaler da alle hjørner er naboer, mens vi for  $n = 4$  og  $n = 6$  har henholdsvis 2 og 9 diagonaler.



En diagonal deler en  $n$ -kant en  $n_1$ -kant og en  $n_2$  kant, der deler en kant og hvor  $n_1 + n_2 = n + 2$ . For eksempel deler 4-kantens diagonal den i to 3-kanter.

a) Bevis ved induktion at antal diagonaler  $d_n$  i en  $n$ -kant er lig med  $n(n-3)/2$  for  $n \geq 3$ . Der lægges vægt på, at argumentationen er klar og koncis. Skriv dit svar på side 5 i Word dokumentet.

**Svar:** For  $n = 3$  har vi  $d_n = 0 = 3(3-3)/2$ , hvilket etablerer basistilfældet. Antag nu at  $n > 3$ , at udsagnet er korrekt for  $n'$ -kanter med  $n' < n$ , og betragt en  $n$ -kant. Tag tre hjørner  $v_1, v_2, v_3$  der ligger ved siden af hinanden, dvs. hvor  $v_1$  og  $v_3$  er forbundet til  $v_2$ . Fra  $v_2$  kan der laves diagonaler til hver af de andre  $n-3$  hjørner og desuden kan der laves en diagonal mellem  $v_1$  og  $v_3$ . De resterende diagonaler ligger i den  $(n-1)$ -kant, der fås ved at udelade  $v_2$  (og forbinde  $v_1$  og  $v_3$  direkte). Ifølge induktionshypotesen har vi  $d_{n-1} = (n-1)(n-4)/2$  diagonaler i denne del, dvs.

$$d_n = n - 3 + 1 + d_{n-1} = n - 2 + (n-1)(n-4)/2 = n(n-3)/2 .$$

## 13 Korrekthed og køretid (10%)

I denne opgave bruger vi matrix og vektor-notation, se evt. CLRS appendix D.1. Fibonaccitallene  $F_0, F_1, F_2, \dots$  er defineret ved  $F_0 = 0$ ,  $F_1 = 1$ , og  $F_n = F_{n-1} + F_{n-2}$  for  $n > 1$ . Betragt nu matricen  $A$  og søjlevektorer på formen  $x = (x_1, x_2)^T$ .

$$A = \begin{pmatrix} 0 & 1 \\ 1 & 1 \end{pmatrix} \quad x = \begin{pmatrix} x_1 \\ x_2 \end{pmatrix}$$

**a)** Argumentér for at for  $x = (F_{n-2}, F_{n-1})^T$  opfylder matrix-vektor produktet ligheden  $Ax = (F_{n-1}, F_n)^T$  for  $n > 1$ . Skriv dit svar på side 6 i Word dokumentet.

**Svar:** Per definition af matrix-vektor produkter har vi:

$$A = \begin{pmatrix} 0 & 1 \\ 1 & 1 \end{pmatrix} \begin{pmatrix} F_{n-2} \\ F_{n-1} \end{pmatrix} = \begin{pmatrix} F_{n-1} \\ F_{n-2} + F_{n-1} \end{pmatrix} = \begin{pmatrix} F_{n-1} \\ F_n \end{pmatrix},$$

hvor den sidste lighed bruger definitionen af  $F_n$ .

**b)** Bevis at for  $x = (0, 1)^T$  gælder ligheden  $A^{n-1}x = (F_{n-1}, F_n)^T$  for  $n \geq 1$ . Skriv dit svar på side 7 i Word dokumentet.

**Svar:** Bevis ved induktion i  $n$ . Basistilfældet  $n = 1$  gælder da  $A^{n-1}x = x = (F_0, F_1)^T$ . Antag som induktionshypotese at  $A^{i-1}x = (F_{i-1}, F_i)^T$  for  $1 \leq i < n$ . Da har vi

$$A^{n-1}x = A(A^{n-2}x) = A(F_{n-2}, F_{n-1})^T = (F_{n-1}, F_n)^T,$$

hvor lighed nummer 2 bruger induktionshypotesen og lighed nummer 3 bruger del a).

**c)** Argumentér for at  $A^{n-1}$ , og dermed også  $A^{n-1}x$ , kan udregnes i tid  $O(\lg n)$ , hvis vi antager at aritmetiske operationer tager konstant tid. Skriv dit svar på side 8 i Word dokumentet.

**Svar:** Vi har følgende rekursionsligning:

$$A^n = \begin{cases} I & \text{hvis } n = 0 \\ (A^{n/2})^2 & \text{hvis } n > 0 \text{ er lige} \\ A(A^{(n-1)/2})^2 & \text{hvis } n \text{ er ulige} \end{cases}$$

Da  $A^n$  er af konstant størrelse betyder det at  $A^n$  kan udregnes i konstant tid ud fra enten  $A^{n/2}$  eller  $A^{(n-1)/2}$ . Det giver rekursionsdybde højst  $\lg(n)$ , og dermed tid  $O(\lg n)$ .